

где $\cos 2\psi = -\chi$; $\Omega = \Omega(\xi)$ — произвольная функция, удовлетворяющая неравенству $\frac{d^2\Omega}{d\xi^2} \sin 2\psi > 0$. Простейший вид функции $\Omega(\xi)$ с $\Omega'' = \text{const}$ дает линейную зависимость вектора \bar{v} от переменной $\xi = x \cos \psi + y \sin \psi$. Причем векторное поле $\bar{v}(x, y)$ параллельно прямым $\xi = \text{const}$.

Для угла ψ в первом квадранте $(\cos \psi = \sqrt{\frac{1-\chi}{2}}, \sin \psi = \sqrt{\frac{1+\chi}{2}})$ такое поле скоростей с точностью до постоянного вектора находим из выражений:

$$\begin{aligned} u_x &= v_0 \sin \psi (x \cos \psi + y \sin \psi) / L, \\ u_y &= -v_0 \cos \psi (x \cos \psi + y \sin \psi) / L, \end{aligned} \quad (17)$$

v_0, L — константы; $v_0/L > 0$.

В системе координат, повернутой относительно главных осей тензора S_{ij} соответствующим образом, полученное решение можно представить в виде

$$\begin{aligned} u_x &= 0, u_y = v_0/L \cdot x, v = v_0 = \text{const}, \\ S_{xx} &= -Y^2/3\mu = -Y/\sqrt{3} \cdot \chi, S_{yy} = Y/\sqrt{3} \cdot \chi, \\ S_{xy} &= \pm \sqrt{1-\chi^2} \cdot Y/\sqrt{3}, S_{xy} \cdot v_0/L > 0, v_0/L = \text{const}. \end{aligned} \quad (18)$$

Решение (18) может служить в качестве теста для экспериментального подтверждения факта неустойчивости и для исследования характера проявления неустойчивости в той или иной разностной методике.

ЛИТЕРАТУРА

1. Уилкинс М. Л. // Вычислительные методы в гидродинамике.— М.: Мир, 1976.
2. Майнчен Д., Сак С. // Там же. М.: Мир, 1976.
3. Быченков В. А., Гаджиева В. В. Вопросы атомной науки и техники. Сер. Методики и программы численного решения задач математической физики. 1978.— Вып. 2(2).
4. Бащурев В. В., Свидинский В. А., Крюкова Т. Ф. // Там же.
5. Бащурев В. В., Свидинский В. А. ЧММСС, 1982, 13, 2.
6. Курант Р. Уравнения с частными производными.— М.: Мир, 1964.

г. Челябинск

Поступила в редакцию 12/V 1988

УДК 621.039.634 : 539.8 + 621.039.634 : 533.6.013.42

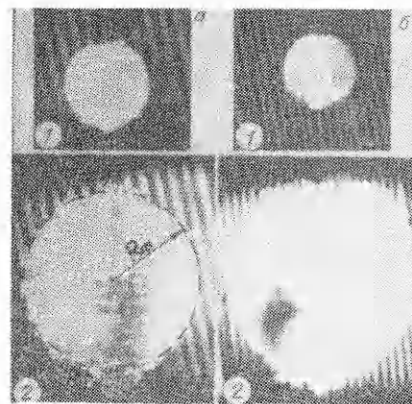
А. И. Белов

НЕИДЕАЛЬНОСТИ НАГРУЗКИ ВО ВЗРЫВНЫХ КАМЕРАХ

Большинство опубликованных к настоящему времени работ, посвященных расчету динамики взрывных камер, базируется на предельно упрощенном представлении нагрузки, основу которого составляет условие равномерности давления ударной волны (УВ) взрыва. Такое допущение также априорно принимается и в интерпретациях экспериментов. Между тем использование подобной идеализации не имеет достаточных оснований, поскольку, с одной стороны, в литературе отсутствуют данные, характеризующие пространственное распределение нагрузок в реальных системах заряд — оболочка, с другой — недостаточно изучен вопрос о влиянии неравномерностей нагрузки на динамическую реакцию силовых оболочек камер.

Для сферических систем заряд — оболочка можно выделить две основные причины нарушения идеальности воздействия взрыва. Первая связана с погрешностями установки заряда. Динамика сферической камеры в случае эксцентричного положения заряда исследована в [1—3].

Фоторегистограммы разлета ПД шарового заряда ТГ 50/50 массой 55 (а) и 950 г (б).
 $1 - R_\Phi/r_0 = 5$; $2 - R_\Phi/r_0 = 10$.



Вторая обусловлена возможной несферичностью фронта и пространственной неравномерностью параметров УВ. Поводом для последнего предположения и одновременно мотивом проведения настоящей работы послужили данные экспериментов [3], согласно которым при нагрузках, создаваемых взрывом шарового заряда ВВ, расположенного в центре сферической оболочки, амплитуды деформаций первого полупериода колебаний в ее нижнем полюсе превосходят значения амплитуд деформаций на экваторе в $\sim 1,4$ раза. Это различие не может быть вызвано возмущениями, возбуждаемыми конструктивными неоднородностями (в данном случае патрубком в верхнем полюсе), поскольку, как следует из результатов численного моделирования [4], изгибные волны, зарождающиеся у патрубка, достигают зоны экватора через промежуток времени, превышающий $1/4$ периода колебаний.

С целью выяснения причин возникновения зарегистрированного повышенного уровня деформаций в нижнем полюсе оболочки проведены оптические наблюдения разлета продуктов детонации (ПД) шарового заряда ВВ, идентичного использованному в [3], при взрыве в неограниченном объеме в воздухе. Заряды из состава ТГ 50/50 плотностью 1,65 г/см³ имели массу 55 г и радиус $r_0 = 0,02$ м. Заряды инициировались промышленными детонаторами, которые помещались в цилиндрический канал диаметром 10 мм, выполненный в теле заряда, при этом торец детонатора располагался в центре заряда. Для регистрации процесса использовалась ждущая лупа времени ЖЛВ-2, работавшая в режиме кадрированной съемки. В поздних стадиях процесса ($R_\Phi/r_0 \approx 10$, R_Φ — радиус фронта ПД) съемка проводилась с применением аргонной подсветки. Пространственное положение заряда и детонатора перед подрывом при оптических наблюдениях разлета ПД соответствовало исходному положению в экспериментах со сферической оболочкой [2] — ось симметрии заряда совпадала с осью камеры, кумулятивная выемка детонатора была обращена к нижнему полюсу. Относительный размер зоны инициирования составлял $r_g/r_0 \approx 0,2$ (r_g — радиус капсюля-детонатора).

Фоторегистограммы разлета ПД для двух стадий процесса представлены на рисунке а. Вторая стадия практически совпадает с моментом прихода фронта на внутреннюю поверхность оболочки (радиус внутренней поверхности камеры $R_k = 0,215$ м).

В ранних стадиях геометрия фронта близка к сферической. При достижении $R_\Phi/r_0 = 10$ в нижней части фронта во всех экспериментах отмечено формирование струйного искривления контактной поверхности, которое сохранялось и прогрессировало вплоть до $R_\Phi/r_0 = 15$ (более поздние фазы процесса не рассматривались). Телесный угол области, занятой возмущением, составлял $30 \div 35^\circ$.

Возникновение указанной асимметрии фронта ПД, по-видимому, обусловлено направленным действием детонатора, которое приводит к пространственной неоднородности параметров возбуждения детонации на поверхности инициирования. Гетерогенность системы в исходном состоянии, связанная с введением детонатора в вещество заряда, играет, скорее всего, второстепенную роль в формировании струйного возмущения, поскольку в опытах с инициированием детонации с поверхности заряда также обнаружено выпячивание фронта в направлении инициирования.

Зона оболочки	p , МПа	τ , мкс	I , $H \cdot c/m^2$
Экватор	21+6,4	115+9	687
Нижний полюс	31+58	96	780+1100

П р и м е ч а н и е. p — амплитуда давления ударной волны, действующей на внутреннюю поверхность камеры; τ — время действия УВ; I — импульс УВ.

С уменьшением относительных размеров зоны инициирования относительные линейные размеры локального возмущения уменьшаются, о чем свидетельствуют кинограммы разлета ПД заряда массой 950 г ($r_0 = 52$ мм, $r_g/r_0 = 0,09$), представленные на рисунке, б, по возрастает общая асимметрия фронта (эллипсность).

Обсуждаемый эффект не является чисто геометрическим. Измерения, проведенные в зоне нижнего полюса оболочки (методика аналогична описанной в [3]), показали, что давление и импульс нагрузки пре- восходят значения этих параметров в невозмущенных областях, в частности на экваторе, и отличаются высокой нестабильностью. В связи с последним обстоятельством и недостаточным объемом выборки результатов измерений ($n = 5$) в таблице приведены максимальные и минимальные значения этих параметров в нижнем полюсе, доверительные интервалы не вычислялись. Обнаруженный эффект пространственной асимметрии распределения импульса и давления, видимо, и послужил причиной возникновения повышенного уровня деформаций в нижнем полюсе оболочки, отмеченного в экспериментах [3], поскольку именно эта область подвергалась воздействию искаженного фронта.

Как показали эксперименты с поворотом заряда на 90° (ось детонатора располагалась в плоскости экватора), наличие такого типа аномалий не сказывается на развитии эффектов раскачки — колебаний, наиболее ярко проявляющихся в зоне нижнего полюса (см. [3]), и их количественных характеристиках, что по сути есть дополнительное подтверждение вывода [3] об отсутствии связи раскачки колебаний взрывных камер с нарушением центральной симметрии нагрузки.

Наличие пространственной асимметрии параметров УВ, для принятой в настоящих исследованиях схемы инициирования (широко распространенной в практике аналогичных экспериментов) детонации шаровых зарядов, указывает на необходимость методического совершенствования традиционных методов инициирования при проведении динамических экспериментов с оболочками малого масштаба в тех случаях, когда размеры зоны инициирования составляют заметную долю от характерных размеров заряда. Разумеется, это необходимо лишь в прецизионных экспериментах по изучению полей деформаций, а также в случае оболочек, в которых эффекты раскачки отсутствуют или существует зависимость амплитудно-частотных характеристик процесса свободных колебаний от пространственно-временного распределения импульсной нагрузки.

ЛИТЕРАТУРА

- Бейкер В. Е., Ху В. С. Л., Джэксон Т. Р. Прикладная механика, 1966, 33, 4, 45—51.
- Baker W. E. J. Acoust. Soc. Am., 1961, 33, 12, 1749—1758.
- Белов А. И., Клаповский В. Е., Корнило В. А. и др. ФГВ, 1984, 20, 3, 71—73.
- Абакумов А. И., Егунов В. Е., Иванов А. Г. и др. ПМТФ, 1984, 3, 127—130.

г. Москва

Поступила в редакцию 25/V 1988